УДК 621.771.073

РАЗРАБОТКА МЕТОДИКИ РАСЧЕТА ПРОГИБОВ ЛИСТОВЫХ ВАЛКОВЫХ СИСТЕМ КВАРТО

Никита Константинович Маркин

Студент 6 курса, кафедра «Оборудование и технологии прокатки» Московский Государственный Технический Университет им. Н.Э. Баумана

Научный руководитель: В. И. Борисов, кандидат технических наук, доцент кафедры «Оборудование и технологии прокатки»

Разработаны теоретические основы метода с учетом основных факторов, влияющих на прогиб валков, получены формулы для определения прогибов в валковой системе на длине бочки, на ширине и посередине полосы, выполнена оценка метода с использованием литературных источников.

В связи с повышением требований к точности проката, и в частности листов (полос), приобретает важное значение уточненный расчет прогибов валков. Известные методики расчета решают или ограниченную задачу, или носят экспериментально-аналитический характер, что снижает их универсальность, или сложны для расчета. Они различаются числом и методом учета факторов, влияющих на деформацию валков, а также принятыми допущениями. Совершенствование и разработка новых методик идет по пути увеличения числа учитываемых факторов и приближения действия нагрузок к реальным условиям прокатки и контактного взаимодействия валков между собой и с полосой.

Все существующие методики как отечественные, так и зарубежные можно объединить в три группы[1].

Первая группа объединяет методики, которые базируются на простых балочных моделях с использованием различных способов определения прогибов балок, представляющих валки, изложенных в работах по сопротивлению материалов.

В эту группу входят почти все отечественные методики, большинство из которых изложены в работе [2], а так же ряд зарубежных методик, например, методика, предложенная в работе [3].

Вторая группа объединяет методики, в основе которых лежит так же балочная модель. В нем валок по длине делят на отдельные элементы небольшой длины с последующим определением прогиба каждого элемента. Суммированием этих прогибов находят прогиб на нужном участке валка. К этой группе относится, например, методика, изложенная в работе [4], которая позднее была усовершенствована в работе [5].

Третья группа охватывает методики, разработанные на основе метода конечных элементов, например, методики, представленные в работах

[6,7 и др.].

В данной работе при разработке основ методики примем балочную модель с использованием для определения прогибов теоремы Кастильяно.

Прогибы валков определяют с учётом касательных напряжений, вызванных поперечными силами, то есть:

$$y = y' + y'',$$

где y' и y'' - прогибы от изгибающих моментов и поперечных сил. Согласно теореме Кастильяно:

$$y' = \int \frac{M}{EI} \cdot \frac{\partial M}{\partial R_{\phi}} dz,$$

$$y'' = \int \frac{kQ}{GF} \cdot \frac{\partial Q}{\partial R_{\phi}} dz,$$
(1)

где M и Q – изгибающий момент и поперечная сила;

Е и G – модули упругости при растяжении и сдвиге;

I и F – момент инерции и площадь сечения;

 $R_{\phi}^{}$ - внешняя фиктивная сила (прикладывается в месте определения прогиба);

k – безразмерный коэффициент, учитывающий форму сечения.

Пренебрегая дрейфом полосы в силу симметрии формы и нагрузок, угол поворота сечения валка от изгиба посередине бочки равен нулю. Это позволяет рассматривать половину валка с заделкой посередине бочки.

Расчетные схемы представлены на Рис.1 и 2.

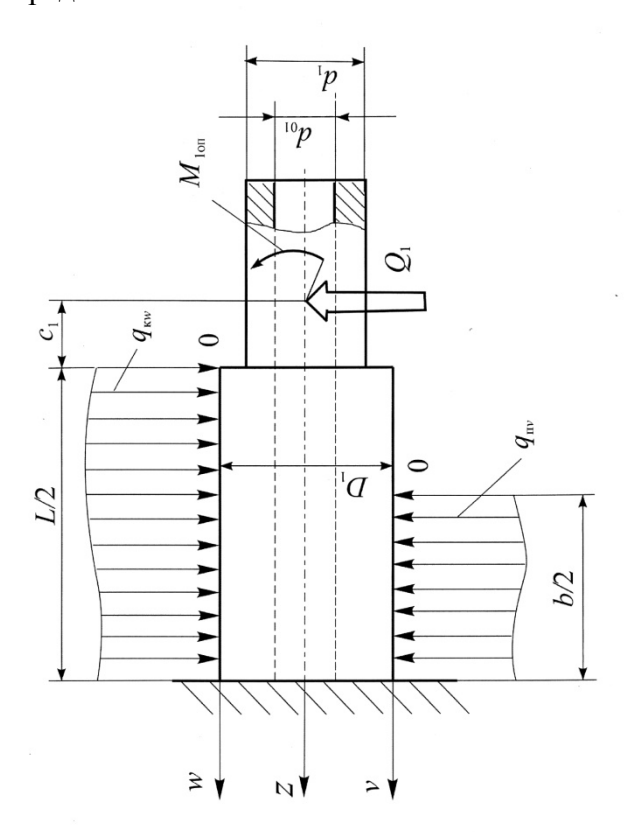


Рис.1 Расчетная схема рабочего валка.

Примем направление нагрузок и прогибов от полосы за отрицательное, а к полосе – за положительное.

Чтобы решить поставленную задачу, прежде всего, необходимо знать закон распределения межвалковой контактной силы.

Исходя из прогибов осей рабочего и опорного валков с учетом изменения

радиуса валков от изгиба, профилировки валков, контактную деформацию в любой точке контакта между валками(при условии нераскрытия межвалкового стыка по длине бочки) находим из равенства, полученного из логических рассуждений:

$$y_{KW}^{H} = (y_{1w} - \Delta R_{1w}) - (y_{2w} - \Delta R_{2w}) + f_{1w} + f_{2w},$$
(3)

где \mathcal{Y}_{1w} и \mathcal{Y}_{2w} - прогибы осей рабочего и опорного валков;

 ΔR_{1w} и ΔR_{2w} - изменение радиусов бочки рабочего и опорного валков под действием изгибающего момента;

 f_{lw} и f_{lw} - координаты рабочих профилей рабочего и опорного валков в сечении с координатой w.

В дальнейшем прогибы осей валков будем называть просто «прогибы валков».

После определения из равенства (3) контактной деформации в середине валков (w=L/2) и у края бочки (w=0) найдем разницу контактной деформации на длине бочки вычитанием из контактной деформации посередине бочки контактной деформации у её края:

$$\Delta y_{KW}^{II} = (\Delta y_{1L} - \Delta y_{2L}) + (\delta R_{2L} - \delta R_{1L}) + f_1 + f_2, \tag{4}$$

где Δy_{1L} и Δy_{2L} - прогибы рабочего и опорного валков на длине бочки;

 $\delta R_{_{1L}}$ и $\delta R_{_{1L}}$ - разница в изменении радиусов рабочего и опорного валков на длине бочки;

 f_1 и f_2 - стрелы рабочих профилей рабочего и опорного валков.

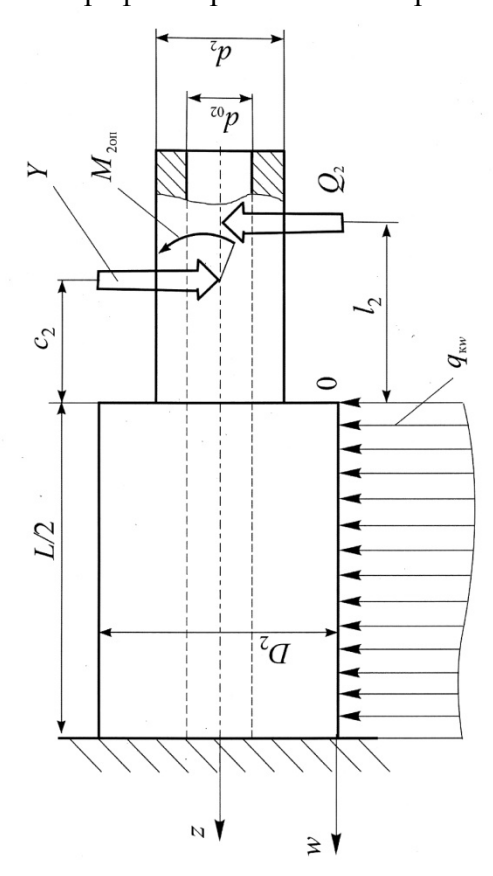


Рис.2. Расчетная схема опорного валка.

Для определения прогибов $^{\Delta y_{1L}}$ и $^{\Delta y_{2L}}$ фиктивную силу $^{R_{\Phi}}$ прикладываем у края бочки.

Координата z во всех случаях отсчитывается от места приложения

 $_{
m cuлы}R_{
m \phi}$

Отметим, что величины с индексом 1 здесь и далее относятся к рабочему валку, а с индексом 2 – к опорному.

С учетом нагрузок, приложенных к валкам (см. рис. 1 и 2) уравнения (1) и (2) для определения величин Δy_{1L} и Δy_{2L} представим в следующем виде:

$$\Delta y_{1L}' = \frac{1}{E_1 I_{16}} \begin{cases} \int_0^{L/2} (\int_0^z q_{\kappa w}(z-w)dw - Q_1(c_1+z) - M_{10\Pi}) z dz - \end{cases}$$

$$-\int_{\frac{L-b}{2}}^{\frac{L}{2}} \left[\int_{0}^{z-(L-b)/2} q_{\Pi V}(z-v-\frac{L-b}{2}) dv \right] z dz \right\},$$

 $\Delta y_{1L}'' = \frac{k_{16}}{G_1 F_{16}} \left[\int_{0}^{L/2} (\int_{0}^{z} q_{KW} dW - Q_1) dz - \int_{\frac{L-b}{2}}^{L/2} (\int_{0}^{z-(L-b)/2} q_{\Pi V} dV) dz - \int_{0}^{(L-b)/2} 1 \cdot dz \right]; dy$ (6)

$$\Delta y_{2L}' = \frac{1}{E_2 I_{26}} \left\{ \int_0^{L/2} \left[Y(z + c_2) - Q_2(z + l_2) - \int_0^z q_{\kappa w}(z - w) dw - M_{20\pi} \right] z \cdot dz \right\}, \tag{7}$$

$$\Delta y_{2L}'' = \frac{k_{26}}{G_2 F_{26}} \left\{ \int_0^{L/2} \left(Y - Q_2 - \int_0^z q_{\kappa w} dw \right) \cdot dz \right\}; \tag{8}$$

где Y - реакция опор опорного валка;

 Q_1, Q_2 - силы принудительного изгиба валков;

 $q_{_{\rm KW}}$ - погонная межвалковая контактная сила;

 $q_{_{\Pi ^{
u}}}$ - погонная контактная сила между полосой и рабочим валком;

 $M_{
m 1on}$, $M_{
m 2on}$ - моменты в подушках валков при их прогибе;

 E_{1},E_{2} и G_{1},G_{2} - модули упругости при растяжении и сдвиге материала валков;

 I_{16} , I_{26} и F_{16} , F_{26} - моменты инерции и площади сечений бочек валков;

 $k_{
m 16}\,,k_{
m 26}\,$ - коэффициенты формы бочек валков.

Символы геометрических размеров показаны на рисунках 1 и 2.

Для решения уравнений (5)-(8) приняты следующие допущения:

распределение межвалковой контактной силы подчиняется параболическому закону;

сила прокатки по ширине листа распределяется равномерно; износ валков отсутствует;

влияние сил трения в межвалковом контакте пренебрежительно мало; валки изготовлены монолитными, и их оси располагаются в одной плоскости; длина бочек рабочего и опорного валков одинаковая.

В соответствии с первым допущением

$$q_{_{\rm K}w} = q_{_{\rm K}\,{\rm cp}} - \frac{2}{3}\Delta q_{_{\rm K}\rm L} + 4\Delta q_{_{\rm K}\rm L} \bigg(\frac{w}{L} - \frac{w^2}{L^2}\bigg), \eqno(9)$$
 где
$$q_{_{\rm K}\,{\rm cp}} = \frac{P + 2Q_{_{\rm I}}}{L} - \text{средняя межвалковая сила;}$$

 $\Delta q_{_{\rm KL}} = q_{_{
m KC}} - q_{_{
m KL}}, \ (q_{_{
m KC}} \ _{
m H} \ q_{_{
m KL}}$ - погонные межвалковые силы посередине и у края бочки);

Величины равенства (9) представлены на рис.3.

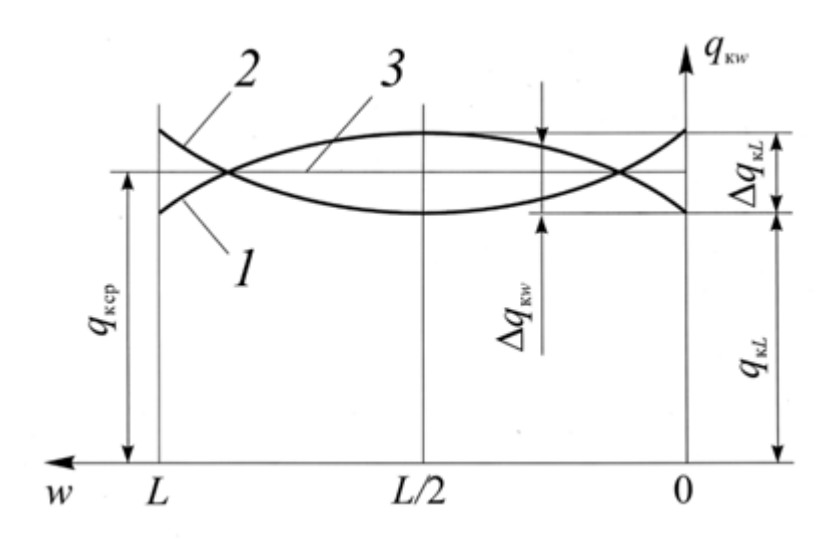


Рис.3. Диаграмма распределения межвалковой контактной силы по длине бочки; 1,2,3 — возможные варианты распределения.

Для характеристики распределения межвалковой контактной силы введем коффициент неравномерности распределения межвалковой силы:

$$\lambda = \frac{\Delta q_{\text{KL}}}{q_{\text{K cp}}}.$$
(10)

В зависимости от варианта распределения (см. рис.3) величина $^{\Delta q_{\text{кL}}}$ может быть положительной или отрицательной. Следовательно, коэффициент $^{\lambda}$ принимает знак плюс или минус.

После преобразования равенства (9) с учетом отношения (10) получим:

$$q_{\kappa w} = q_{\kappa \, cp} \left[1 - \frac{2}{3} \lambda + 4\lambda \left(\frac{w}{L} - \frac{w^2}{L^2} \right) \right]. \tag{11}$$

При условии нераскрытия стыка между валками нетрудно найти интервал изменения коэффициента λ :

$$-1,5 \le \lambda \le 1,5$$
.

Если коэффициент λ выходит из этого диапазона, то это свидетельствует о раскрытии стыка.

После решения уравнений (5-8) с учетом выражения (11) получим формулы для определения прогибов валков на длине бочки:

$$\Delta y_{1L}' = PA_1 \left[\left(8 + 24\overline{c}_1 + \overline{b}^3 - 4\overline{b}^2 \right) - \left(1 + \zeta_1 \right) \left(5 + 24\overline{c}_1 + \frac{11}{15}\lambda \right) \right] - M_{\text{lon}} \cdot S_1,$$

$$\Delta y_{1L}'' = PB_1 \left[6(2 - \overline{b}) - \frac{24(1 - \overline{b})}{P} - (1 + \zeta_1)(6 + \lambda) \right],$$

$$\Delta y_{1L} = \Delta y_{1L}' + \Delta y_{1L}'';$$

$$\Delta y_{2L}' = PA_2 \left[\left(1 + \zeta_1 \right) \left(5 + 24\overline{c}_2 + \frac{11}{15}\lambda \right) - 24\zeta_2(l_2 - \overline{c}_2) \right] - M_{\text{2on}} \cdot S_2,$$

$$\Delta y_{2L}'' = PB_2(1 + \zeta_1)(6 + \lambda),$$

$$\Delta y_{2L} = \Delta y_{2L}' + \Delta y_{2L}'';$$

$$\text{где P - сила прокатки,}$$

$$\zeta_1 = \frac{2Q_1}{P} \quad \zeta_2 = \frac{2Q_2}{P}$$

$$- \text{ относительные силы принудительного изгиба валков,}$$

$$\overline{c}_1, \overline{c}_2, \overline{l}_2, \overline{b} \quad - \text{ относительные размеры, равные отношению соответствующи.}$$

 $\overline{c}_1,\overline{c}_2,\overline{l}_2,\overline{b}$ - относительные размеры, равные отношению соответствующих размеров к длине бочки L.

 A_{n}, B_{n}, S_{n} - коэффициенты гибкости соответственно от изгибающих моментов, действующих на валок, от поперечных сил; от моментов, действующих на подушки(индекс п принимает цифру 1(рабочий валок) или 2(опорный валок));

Формулы для расчета коэффициентов гибкости даны ниже(см. с.11).

Радиальную деформацию в произвольном сечении бочки валка определим из формулы, приведенной в работе [8]:

$$\Delta R_z = \frac{2vM_z}{\pi E \left(R_z^2 + r_0^2\right)},\tag{14}$$

где V – коэффициент Пуассона;

 M_z - изгибающий момент в сечении с координатой z;

 R_z - радиус бочки валка;

 r_0 - радиус осевого канала валка.

При отсутствии осевого канала $r_0 = 0$.

Исходя из формулы (14), разницу в радиальной деформации между серединой и краем бочки представим уравнением:

$$\delta R_L = \Delta R_c - \Delta R_L = \frac{2\nu \left(M_c - M_L\right)}{\pi E \left(R_z^2 + r_0^2\right)},\tag{15}$$

где $^{M_{\rm c}}$ и M_L - изгибающие моменты в середине и у края бочки. Из расчетных схем получим следующие уравнения моментов, входящих в формулу (15):

$$M_{1c} = \frac{PL}{48} \Big[6 \big(4\overline{c}_1 - b + 2 \big) - \big(1 + \zeta_1 \big) \big(6 + 24\overline{c}_1 + \lambda \big) \Big] - M_{1on},$$

$$M_{1L} = - \Big(\frac{PL}{2} \zeta_1 \overline{c}_1 + M_{1on} \Big);$$

$$M_{2c} = \frac{PL}{48} \Big[\big(1 + \zeta_1 \big) \big(6 + 24\overline{c}_2 + \lambda \big) - 24\zeta_2 (\overline{l}_2 - \overline{c}_2) \Big] - M_{2on},$$

$$M_{2L} = \frac{PL}{2} \Big[\big(1 + \zeta_1 \big) \overline{c}_2 - \zeta_2 (\overline{l}_2 - \overline{c}_2) \Big] - M_{2on}.$$

$$(17)$$

Из выражения (4) с учётом равенств (12, 13) и формулы (15) для рабочего и опорного валков найдем изменение контактной деформации на длине бочки от изгибающих моментов, как функцию силовых параметров:

$$\Delta y_{kL}^{\mathrm{M}} = f(P, \lambda, \zeta_1, \zeta_2). \tag{18}$$

С другой стороны, изменение контактной деформации $^{\Delta y_{kL}}$ можно найти из контактной задачи с использованием гипотезы Винклера, согласно которой контактная деформация в произвольной точке контакта выражается следующим образом:

$$y_{\kappa w}^{K} = K_{\kappa w} q_{\kappa w}, \tag{19}$$

где $K_{_{\mathrm{KW}}}$ - коэффициент податливости упругого основания.

В нашем случае коэффициент $K_{\kappa w}$ определен из формулы Б.С. Ковальского [12]. Из уравнения (19) с учетом полученной формулы коэффициента $K_{_{\mathrm{KW}}}$ найдено:

$$y_{_{\mathrm{KW}}} = \frac{1}{\pi} \left(U' - \eta \ln(q_{_{\mathrm{KW}}}) \right) q_{_{\mathrm{KW}}}, \tag{20}$$

$$\eta = \frac{1 - v_{_{1}}^{2}}{E_{_{1}}} + \frac{1 - v_{_{2}}^{2}}{E_{_{2}}} - \text{упругая постоянная;}$$

$$U' = \eta \left[\ln\left(\frac{D_{_{1}} + D_{_{2}}}{\eta}\right) + 1,265 \right] + \left(\frac{1 - v_{_{1}}^{2}}{E_{_{1}}} - \frac{1 - v_{_{2}}^{2}}{E_{_{2}}}\right) \ln\frac{D_{_{1}}}{D_{_{2}}}.$$

Разница контактной деформации, полученной из контактной задачи, между серединой и краем бочки равна:

$$\Delta y_{\kappa L}^{K} = y_{\kappa c} - y_{\kappa L}; \tag{22}$$

где $\mathcal{Y}_{\kappa c}$ и $\mathcal{Y}_{\kappa L}$ - контактные деормации посередине и у края бочки. Из равенства (22) с учетом уравнения (20) найдем:

$$\Delta y_{\kappa L}^{K} = \frac{1}{\pi L} P(1 + \zeta_{1}) \Big\{ \lambda \Big[U - \eta \ln \Big[P(1 + \zeta_{1}) \Big] \Big] - \eta B_{0} \Big\},$$

$$U = \eta \Big[\ln \frac{(D_{1} + D_{2})L}{\eta} + 1,265 \Big] + \Big(\frac{1 - v_{1}^{2}}{E_{1}} - \frac{1 - v_{2}^{2}}{E_{2}} \Big) \ln \frac{D_{1}}{D_{2}};$$
(24)
$$B_{0} = \Big(1 + \frac{\lambda}{3} \Big) \ln \Big(1 + \frac{\lambda}{3} \Big) - \Big(1 - \frac{2}{3}\lambda \Big) \ln \Big(1 - \frac{2}{3}\lambda \Big).$$

Величина ηB_0 мала и ею для первого приближения можно пренебречь. Приравняв правые части функции (18) и уравнения (23) найдем формулу для

Приравняв правые части функции (18) и уравнения (23) найдем формулу для определения коэффициента λ , которую представим в следующем виде:

$$\lambda = \frac{1}{\omega + \alpha} \left(-\alpha_{1} + \frac{\alpha_{2} + \gamma}{1 + \zeta_{1}} + \frac{f_{1} + f_{2} + M_{2\text{on}} \cdot S_{2} - M_{1\text{on}} \cdot S_{1}}{P(1 + \zeta_{1})} \right),$$

$$\omega = \frac{1}{\pi L} \left\{ U - \eta \ln \left[P(1 + \zeta_{1}) \right] \right\};$$

$$\alpha = \frac{11}{15} A + B - N; \quad \alpha_{1} = 5A + 24 \left(A_{1} \overline{c_{1}} + A_{2} \overline{c_{2}} \right) + 6(B - N) - \frac{1}{\pi L} \eta B_{0};$$

$$\alpha_{2} = A_{1} (8 + 24 \overline{c_{1}}) + 24 A_{2} \zeta_{2} (\overline{l_{2}} - \overline{c_{2}}) + 12(B_{1} - N_{1}) - \frac{24 B_{1}}{P};$$

$$\gamma = A_{1} b^{2} (\overline{b} - 4) - 6 \overline{b} (B_{1} - N_{1}) + \frac{24 B_{1} \overline{b}}{P}.$$

$$(25)$$

Формулы для определения величин при расчете коэффициента λ :

| A_n | B_n | N_{n} | η | U | S_n |
|----------------------------|--------------------------------|---|-----------------|-----------------|--------------------------|
| $\frac{L^3}{384E_nI_{n6}}$ | $\frac{k_{n}L}{48G_{n}F_{n6}}$ | $\frac{Lv_n}{6\pi E_n(D_n^2 + d_{0n}^2)}$ | формула (20) | формула (24) | $\frac{L^2}{8E_nI_{n6}}$ |

Индекс "п" при величинах может принимать цифру 1(рабочий валок) или 2(опорный валок). Отметим, что $A=A_1+A_2$, $B=B_1+B_2$, $N=N_1+N_2$.

Формулу (25) можно использовать для анализа влияния параметров, определяющих коэффициент λ , на распределение межвалковой контактной силы.

Определив коэффициент λ , можно приступить к расчету необходимых прогибов: на длине бочки (для профилирования валков), на ширине полосы (для оценки поперечной разнотолщинности) и прогиба посередине валковой системы относительно опор опорного валка (для расчета модуля жесткости клети).

Прогибы на длине бочки ($^{\Delta y_{1L}}$ и $^{\Delta y_{2L}}$) получим из равенств (12,13).

Для оценки поперечной разнотолщинности полосы необходимо найти на ширине полосы прогиб активной образующей рабочего валка, контактирующей с полосой, который складывается из прогиба оси

валка $^{\Delta y_{1b}}$, деформации его радиуса $^{\delta R_{1b}}$,профилировки $^{f_{1b}}$ и сплющивания $^{y_{\Pi b}}$. Его можно выразить следующим равенством:

$$(\Delta y_{1b})_{a.\text{of}} = \Delta y_{1b} - \delta R_{1b} - f_{1b} - y_{\Pi b}. \tag{26}$$

Индекс "b" указывает, что величины равенства определяются на ширине полосы.

Прогиб валковой системы на ширине полосы получим из рассмотрения участка рабочего валка на ширине полосы. В этом случае фиктивную силу прикладываем у кромки полосы. В результате из уравнений (1,2) найдем:

$$\Delta y_{1b}' = PA_1\overline{b}^2 \left\{12 - 7\overline{b} + 24\overline{c}_1 - (1 + \zeta_1) \times \left[6 - \overline{b}^2 - 24\overline{c}_1 + \lambda \left(1 - \frac{1}{3}\overline{b}^2 + \frac{1}{15}\overline{b}^4\right)\right]\right\} - M_{\rm lon} \cdot S_1',$$

$$\Delta y_{1b}'' = PB_1\overline{b} \left\{6 - \overline{b}(1 + \zeta_1)\left[\lambda(2 - \overline{b}^2) + 6\right]\right\},$$

$$\Delta y_{1b} = \Delta y_{1b}' + \Delta y_{1b}'',$$

$$S_1' = \frac{b^2}{8E_1I_{16}}$$
 где - коэффициент гибкости на ширине полосы от момента $M_{\rm lon}$. Величину δR_{1b} получим из уравнения (15), заменив момент у края бочки.

Величину δR_{1b} получим из уравнения (15), заменив момент у края бочки на момент у кромки полосы:

$$\delta R_{1b} = \frac{2v_1(M_{1c} - M_{1b})}{\pi E_1(R_1^2 + r_{10}^2)}.$$

где M_{lc} - момент посередине бочки, формула (18);

 M_{1b} - момент у кромки полосы.

Момент M_{1b} найдем из расчетной схемы (рис.1):

$$M_{1b} = PL \left\{ (1 + \zeta_1) \frac{(1 - \overline{b})^2}{48} \left[6 - \lambda (1 + \overline{b})^2 \right] - \frac{\zeta_1}{2} \left(\overline{c_1} + \frac{1 - \overline{b}}{2} \right) \right\}.$$

При параболической профилировке стрела профиля на ширине полосы равна: $f_{1b} = f_1 \overline{b}^{\,2} (2 - \overline{b}^{\,2}).$

Сплющивание $y_{\Pi b}$ зависит от характера распределения силы прокатки по ширине полосы. В нашем случае принято это распределение равномерным. Отсюда вытекает, что сплющивание на ширине полосы тоже должно быть равномерным и на поперечную разнотолщинность не влиять. Однако, это не соответствует действительности. В связи с этим в дальнейшем предполагается от допущения о равномерности распределения силы прокатки по ширине полосы отказаться.

Вопрос распределения силы прокатки по ширине полосы на настоящее время проработан недостаточно, что затрудняет его рассмотрение в рамках данной работы. Поэтому сплющивание при неравномерном распределении следует проработать отдельно.

С некоторыми сведениями общего характера по определению распределения силы прокатки по ширине полосы можно ознакомиться в работах [5,10].

Определив прогиб активной образующей рабочего валка на ширине полосы после подстановки в равенство (26) полученных слагаемых, нетрудно найти поперечную разнотолщинность: $\Delta h_b = 2(\Delta y_{1b})_{a.of}$.

Прогиб валковой системы, состоящей из полукомплектов с одинаковыми валками, посередине полосы относительно опорных валков найдем из полученного путем логических рассуждений равенства:

$$y_c = 2(y_{2c} - \Delta R_{2c} + y_{KC} + y_{\Pi c}),$$
 (27)

где y_{2c} - прогиб опорного валка;

 ΔR_{2c} - деформация радиуса опорного валка;

 $\mathcal{Y}_{\text{кс}}$ - межвалковая контактная деформация;

 $y_{\rm nc}$ - сплющивание валков в контакте с полосой.

Индекс "с" указывает на принадлежность величин к середине бочки.

Прогиб опорного валка посередине бочки определим из рассмотрения участка между серединой и его опорой с использованием уравнений (1,2):

$$\begin{split} y_{2\mathrm{c}}' &= PA_2 \left\{ (1+\zeta_1) \bigg[\, 5 + 40\overline{c}_2 + 96\overline{c}_2^{\,2} + 64\chi\overline{c}_2^{\,3} + \frac{1}{15} (11 + 32\overline{c}_2) \, \bigg] - \\ &- 24\zeta_2 (\overline{l}_2 - \overline{c}_2) \big[1 + 4\overline{c}_2 (1 + \chi\overline{c}_2) \big] \right\} - M_{2\mathrm{on}} S_2 \big[1 + 4\overline{c}_2 (1 + \chi\overline{c}_2) \big], \\ y_{2\mathrm{c}}'' &= PB_2 (1 + \zeta_1) (6 + 24 & \xi\overline{c}_2 + \lambda), \\ \chi &= \frac{I_{16}}{I_{2\mathrm{III}}}; \ \zeta = \frac{F_{26}}{F_{2\mathrm{III}}}; \ w = \frac{k_{2\mathrm{III}}}{k_{26}}; \\ \mathrm{где} & \chi_{26} = \frac{I_{16}}{I_{20}}; \ \chi_{26} = \frac{I_{16}}{I_{20}}; \ \chi_{26} = \frac{I_{20}}{I_{20}}; \ \chi_{2$$

Деформация радиуса валка посередине бочки в соответствии с уравнением (14) равна:

$$\Delta R_{2c} = \frac{2v_2 M_{2c}}{\pi E_2 (R_2^2 + r_{c2}^2)},$$

где M_{2c} - момент посередине бочки опорного валка, формула(17). Величину межвалковой контактной деформации посередине валка найдем из

Величину межвалковой контактной деформации посередине валка найдем из уравнения (20) после подстановки вместо q_{kw} погонной силы $q_{\kappa c}$, полученной из выражения:

$$q_{\rm KC} = q_{\rm KCp}(1 + \frac{1}{3}\lambda),$$

которое вытекает из уравнения (11) при w = L/2.

В итоге:

$$y_{\kappa c} = \frac{1}{\pi} (U' - \eta \ln q_{\kappa c}) q_{\kappa c}.$$

Что касается сплющивания валков в контакте с полосой, то соображения по его определению изложены ранее (см.с. 13).

Подставив в равенство (27) полученные слагаемые, найдем деформацию, которая характеризует жесткость валковой системы.

Оценим косвенно изложенную методику, исходя из жесткости рабочей клети

непрерывного широкополосного стана 2000 горячей прокатки с валками 800/1600х2000мм. Модуль жесткости этой клети по данным завода-изготовителя составляет $M_{\kappa} = 6 \mathrm{MH/mm}$ [13]. Приведем так же модуль жесткости той же клети, полученный расчетным путем по методике ВНИИМЕТМАШ, который равен $M_{\kappa} = 5,6 \mathrm{MH/mm}$ [14].

Найдем жесткость той же клети с учетом того обстоятельства, что деформация валковой системы на широкополосных станах составляет примерно 50% от деформации клети [15].

Из расчета в соответствии с равенством (27) при силе прокатки P=10MH с учетом условий определения жесткости клети заводом-изготовителем была определена деформация валковой системы: $y_{\rm BC}=0,7925{\rm MM}.$ Исходя из 50% доли этой деформации, деформация клети составит $y_{\rm K}=2y_{\rm BC}=1,585{\rm MM}.$ Тогда в соответствии с этой деформацией жесткость клети равна:

$$M_{\text{kp}} \frac{P}{y_{\text{k}}} = \frac{10}{1,585} = 6.3 \text{MH/MM}.$$

Из сравнения модулей жесткости завода-изготовителя $^{M_{\kappa}}$ и полученного из расчета по предложенной методике $^{M_{\kappa p}}$, найдем разницу между ними:

$$\Delta = \frac{M_{\text{kp}} - M_{\text{k}}}{M_{\text{k}}} = \frac{6,3 - 6,0}{6,0} \cdot 100\% = 5\%$$

Заключение.

Данную работу следует рассматривать как совершенствование методики, предложенной ранее А. И. Целиковым [14,15], что вызвано ужесточением требований к точности листового проката. В предложенной методике учтены практически все факторы, заметно влияющие на точность листов, а именно: контактное взаимодействие рабочего валка с опорным, приближенное к реальному; деформация радиуса валков, вызванная изгибающими моментами; рабочие профили валков (профили в процессе прокатки) . В дальнейшем предполагается отказаться от принятого допущения о равномерном распределении силы прокатки в очаге деформации по ширине полосы, и приблизить взаимодействие рабочего валка с полосой к реальному. Разработанная методика применима при прокатке листов толщиной, исключающей контактное взаимодействие между рабочими валками (примерно при прокатке листов не тоньше 0,8-1,0мм). Ориентировочная оценка методики показала приемлемую точность результатов расчета.

Литература

- 1. Ginzburg V.B. Steel-rolling technology: Theory and Practice [M]. New York:Marcel Dekker. 1989.-p.526-538.
- 2. Коновалов Ю.В., Остапенко А.Л., Пономарев В.И. Расчет параметров листовой прокатки М.: Металлургия. 1986.-429с.
- 3. Stone M.D., Gray R. Theory and practice aspects in crown control.// Iron and Steel Eng.-1965.-42(8).-p.73-83.
- 4. Shonet K.N., Townsend N.A. Roll bending methods of crown control in four-high plate mills// Iron and Steel Institute.-1968.-206(11).-p.1088-1098.

- 5. Edwards K.H., Spooner P.D. Analysis of strips shape. Automation of Tandem Mills. London: Iron and Steel Institute.-1973.-p.176-212.
- 6. Malik A.S., Grandhi R.V. Computational method to predict strip profile in rolling mills// Journal of Materials Processing Technology.-2008.-206.-p.263-274.
- 7. Восканьянц А.А. Расчет напряженно-деформированного состояния валковой системы клети кварто 2500// Производство проката.-2001.-№5.-с.36-38.
- 8. Софронов Е.И. Уточненная методика расчета валков прокатных станов кварто// Вестник машиностроения.-1975.-№5.-с.43-47.
- 9. Пономарев С.Д., .Расчеты на прочность в машиностроении. Т III.-М.: Машгиз, 1956.-1118с.
- 10. Борисов. В.И. Точность прокатного листа и уравнения технологического наследования// Вестник МГТУ, серия «Машиностроение».- 1996.-№3.-с.16-23.
- 11. Фомин Г.Г., Дубейковский А.В., Гринчук П.С. Механизация и автоматизация широкополосных станов горячей прокатки.- М.: Металлургия 1979.-231с.
- 12. Герцев А.И., Гесслер Ю.В. Расчет жесткости рабочей клети листового стана кварто// Труды ВНИИМЕТМАШ. Напряжения, деформации и прочность металлургических машин.-1988.-с.160-164.
- 13. Меерович И.М., Герцев А.И., Горелик В.С. и др. Повышение точности листового проката.- М.: Металлургия. 1969-261с.
 - 14. Целиков А.И. Прокатные станы.-М.: Металлургиздат, 1946,-560с.
 - 15. Целиков А.И., Смирнов В.В. Прокатные станы.-М.: Металлургиздат, 1958,-432с.